

首都高速道路公団 正会員 内藤誠一  
 ○伊藤一義  
 荒神敏郎

### 1 はじめに

神奈川県の中心、横浜地区には鮮新世～洪積世初期に海成層として成層された固結シルト（土丹）が広く分布しております。この土丹層は土木構造物の良好な支持層として用いられています。

横浜市内を走る首都高速道路網のうち、すでに供用をしまして横浜羽田空港線（工期、Ⅰ期）、建設中のⅡ期、及び計画中の横羽海岸線（工期）は横浜港を取り巻くがたでやはりめぐらされており、これらの路線に構築された（又は建設予定の）高速道路の基礎もこの土丹層を支持地盤として用いています。

この路線に沿った土丹層の調査結果をとりまとめたのでその一部を報告する。

### 2 土丹層の深度分布

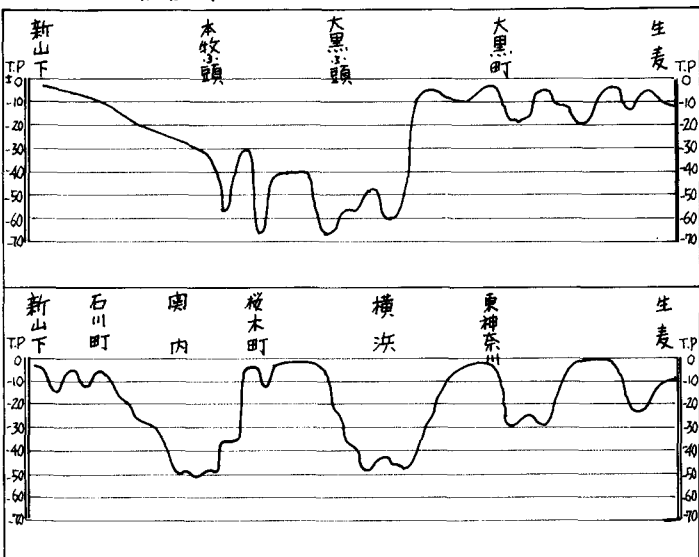


図-1 地質断面図

マクロな土丹層の上部を前記高速道路線に沿って地質断面図（図-1）に示す。鮮新世初期から末期にかけての関東盆地運動の結果、土丹層は大きな起伏を示しているが、沈没した箇所にも更に深い谷が掘られていく。

この土丹層の激しい起伏が、連續して構造物の基礎を建設する際に、設計、施工時の落穴となる場合がある。局所的な最大勾配は1:1にも及ぶ、詳細な地質調査を行いその落穴に落ちない注意が必要であろう。

### 3 土丹層の成層状態

土丹層を支持地盤として選定する場合、ボーリング調査で土丹層が現れた深さ以下数㍍で調査を中止することが多いため、土丹層下を深く調べた資料は少ない。図-2のA, B2箇所で調べた詳細な柱状図を図-3, 4に示す。図-3, 4は連続不擾乱資料を採取し、現場で目視検査したものであり、ミクロの成層状態を知る上で貴重な資料であろう。上部の風化層を除いても隨所に砂層が挟在しており、グラットもよく認められる。

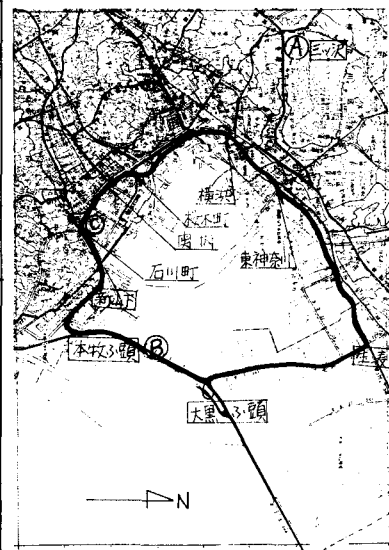


図-2 横浜港付近平面図

## 4 物理、力学特性

本調査結果からでは、単位体積重量、一軸圧縮強度等については、深さ方向についての相關関係は、バラツキが多く、認められない。ただし山の手の方が横浜港内に比べて物理、力学的性質共優っている。これはA地盤の方が砂分が多いためと考えられる。このことはB地盤はA地盤に比べ安定した半深海成の成層とみられ、泥岩の連続性が良く、A地盤は成層状態の変化が激しく不安定な浅海性の成層であることがわかる。

粒度分布(%)	礫	砂	シルト	粘土
山の手 A	0	25	60	15
横浜港内 B	0	12	56	32

## 5 載荷試験結果

図-2のB、C地盤での平板載荷試験結果を下表に示す。

	載荷板	変形係数	降伏荷重	極限荷重
B地盤	水平	cm	kg/cm²	t/m²
	鉛直	"	10,000	500
C地盤	水平	cm × cm	kg/cm²	t/m²
	鉛直	"	2,000	350

一様な岩盤として、道路橋下部構造設計指針(直接基礎設計編)従い、室内土質試験結果から得られた土質常数を用いて極限荷重を算出すると

B地盤  $1,100 \text{ t/m}^2$ , C地盤  $900 \text{ t/m}^2$

となり、載荷試験結果とは異なる。

理論化された地盤と現実の地盤(クラックの存在、砂、岩の互層等)の違いを考えれば、これは当然のことであるが、一般的に“三浦層群の土丹”という表現から相当大きな許容支持力を想像しがちであるが、慎重な検討が必要であろう。

## 6 おわりに

横浜地区の土丹層の調査結果の一部を取りまとめて報告したものであるが、紙面の都合上、土丹層内に挟在する砂層、及びクラックに伴う透水性についての試験結果については省略してある。今後、横浜土丹層についての調査が更に進められ、その特性を論ずる際に、このデーターが参考になれば幸いである。

最後に、貴重なデーターを提出していただいた上に、種々のアドバイスをいただいた、横浜市交通局高速鉄道建設部設計課、及び応用地質事務所横浜出張所に深く感謝します。

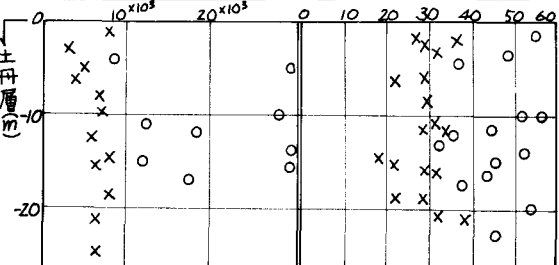
### 参考文献

- 1) 京浜地帯都市地盤調査報告書(1964)神奈川県), 2) 宮崎昭二他、首都高速道路横浜羽田空港線に分布する土丹の工学的性質、土木技術資料 Vol. 9 (1967)

標高 深度 記号	地質名	記事	標高 深度 記号	地質名	記事
+385			-123		
+20.2 18.3	細砂	砂粒均一化され非常に密である	-51.4 39.1	砂質シルト	腐食物混入 鉛め、水平クラック 漂石レス状に挟在
+16.5 23.0	泥岩	雲母浮石混入	-51.5 42.2	泥岩	水平クラック 泥岩層はほぼ均一 砂をレソ状に挟む 貝がら片混入
+14.7 23.8	細砂	砂介在	-52.8 44.5	泥岩	(軽石) 鉛めクラック 泥岩多く混入
+12.7 25.8	砂漬泥岩	固結度強	+1.8 26.7	泥岩	(軽石) 鉛めクラック 泥岩多く混入
+10.8 27.7	砂質泥岩	固結度強	-10.8 27.7	泥岩	(軽石) 泥岩均一
+8.9 29.6	細砂	砂粒均一化 泥岩混入	-12.3 50.0	泥岩	鉛め、水平クラック
+6.1 32.4	砂漬泥岩	砂接在 73.7 砂柱帶状 漂石雲母火山灰 泥岩混入	-16.5 52.2	泥岩	クラック 細砂を若干混じる
+3.8 34.7	砂漬泥岩	クラック	-16.5 53.0	細砂	鉛めクラック 砂質接在(微弱)
+2.5 36.0	泥岩	固結度強	-24.4 40.9	泥岩	砂質接在(微弱) 砂をブロック状に 挟む。

図-3 柱状図(A地盤)

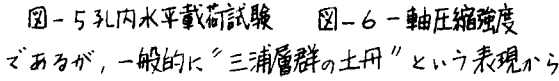
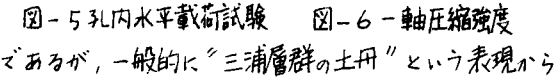
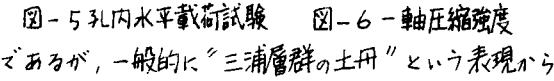
変形係数( $\text{kg}/\text{cm}^2$ )



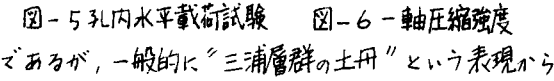
○山の手, ×横浜港内

図-4 柱状図(B地盤)

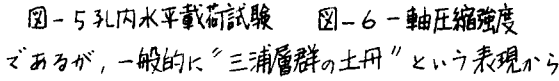
一軸圧縮強度( $\text{kg}/\text{cm}^2$ )



○山の手, ×横浜港内



○山の手, ×横浜港内



○山の手, ×横浜港内